

# Die Pfadintegral-Formulierung der Quantenmechanik

Vortrag im Rahmen des Quantenmechanik-Seminars bei Prof. Wolschin

---

**Mathieu Kaltschmidt**

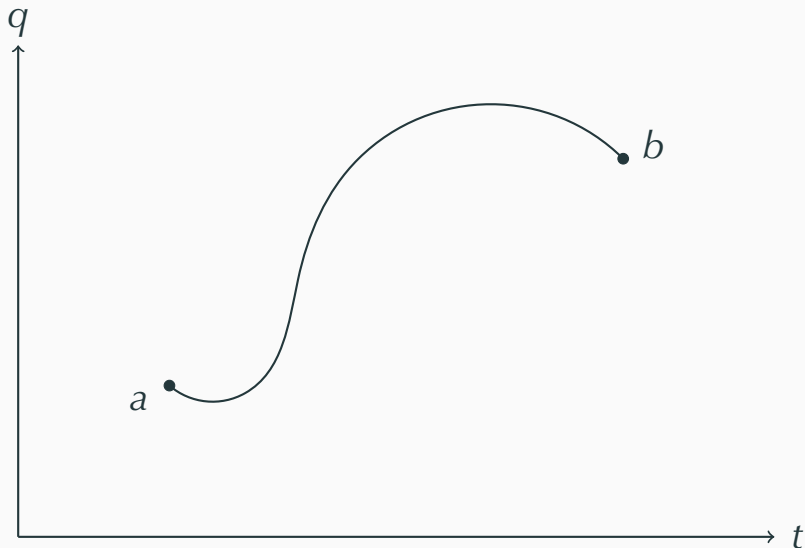
21. Dezember 2018

Institut für Theoretische Physik, Universität Heidelberg

1. Von der klassischen Mechanik zur Quantenmechanik
2. Die Idee des Pfadintegral-Formalismus
3. Kommutatorrelation im Pfadintegralformalismus
4. Der Harmonische Oszillator
5. Der klassische Grenzfall
6. Weiterführende Anwendungen

# Von der klassischen Mechanik zur Quantenmechanik

---



**Abbildung 1:** Trajektorie eines klassischen Punktteilchens

- Trajektorien ergeben sich aus dem **Wirkungsprinzip**:

$$\text{Wirkung } S = \int_{t_1}^{t_2} dt \mathcal{L}(q(t), \dot{q}(t)) \text{ wird minimiert.}$$

- Erste Variation  $\delta S$  soll verschwinden:

$$\delta S = \int_{t_1}^{t_2} dt \frac{\partial \mathcal{L}}{\partial q} \delta q + \frac{\partial \mathcal{L}}{\partial \dot{q}} \delta \dot{q} \stackrel{!}{=} 0$$

- Ausführen der Variation liefert **Euler-Lagrange-Gleichungen**:

$$\frac{d}{dt} \frac{\partial \mathcal{L}}{\partial \dot{q}} - \frac{\partial \mathcal{L}}{\partial q} = 0$$

# Bisheriger Zugang zur Quantenmechanik

- Determinismus  $\longrightarrow$  Wahrscheinlichkeitsaussagen
- Zentrale Objekte sind **Zustände**  $|\psi\rangle \in \mathcal{H}$
- Messung verschiedener Observablen mittels selbsadj. **Operatoren**

## Interpretationen der Quantenmechanik

1. Matrizenmechanik nach Heisenberg et al.

$$\frac{d\hat{A}_H}{dt} = \frac{i}{\hbar} [\hat{H}_H, \hat{A}_H] + \left( \partial_t \hat{A}_S \right)_H$$

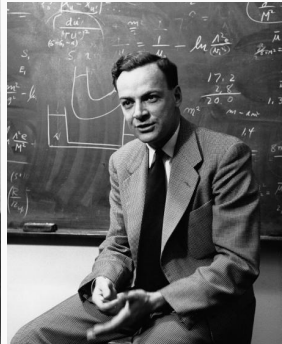
2. Wellenmechanik nach Schrödinger

$$i\hbar \frac{\partial}{\partial t} |\psi(t)\rangle = \hat{H} |\psi(t)\rangle$$

3. **Mein Vortrag:** Pfadintegral-Formalismus nach Feynman et al.

# Entwicklung des Pfadintegral-Formalismus

- Grundlegende Beiträge von **Gregor Wentzel**, **Paul Dirac** und insbesondere **Richard P. Feynman**



**Abbildung 2:** Von links nach rechts: G. Wentzel, P. Dirac und R. Feynman

- **1924: G. Wentzel** entdeckt 1924 das später nach Feynman benannte Pfadintegral.
- **1933: P. Dirac** erkennt die besondere Bedeutung des Wirkungsfunktional für die klassische Mechanik, vgl. [1].
- **1948: R. Feynman** formuliert seine grundlegende, alternative Formulierung der Quantenmechanik, den Pfadintegral-Formalismus, vgl. [2].



# Die Idee des Pfadintegral-Formalismus

---

# Die Idee des Pfadintegral-Formalismus

## Grundlegende Fragestellung

Was ist die **Wahrscheinlichkeitsamplitude** für den Übergang von  $(q_a, t_a)$  nach  $(q_b, t_b)$  für  $t_b > t_a$ .

## Feynman's Ideen von 1948

- Die Amplitude bezeichnet man als **Kernel**  $K(b, a)$ :

$$K(b, a) = \sum_{\text{alle Pfade}} \phi[q(t)]$$

- Beitrag eines einzelnen Pfades:

$$\phi[q(t)] \sim N \cdot \exp\left(\frac{i}{\hbar} \mathcal{S}[q(t)]\right)$$

- Wahrscheinlichkeit für den Übergang:

$$P(b, a) = |K(b, a)|^2$$

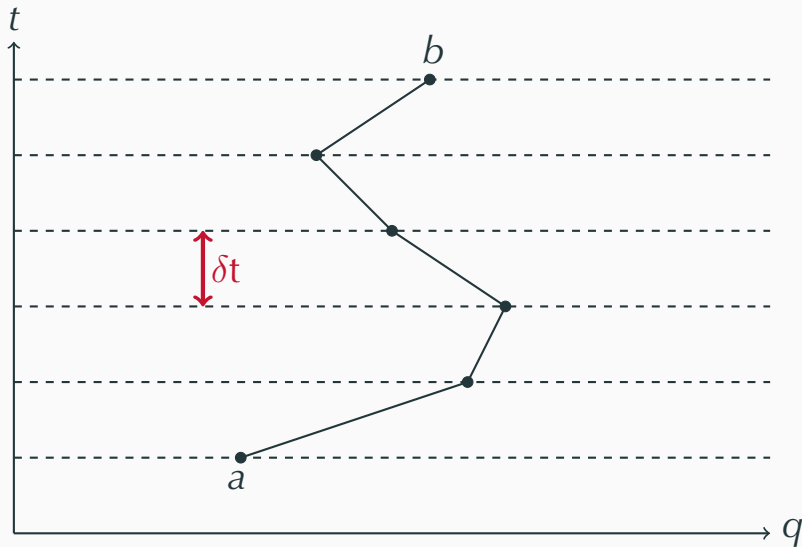
Interessant ist die Analyse der **Übergangsamplitude**:

$$\langle q_b, t_b | q_a, t_a \rangle = \langle q_b | \exp \left( -i\hat{H}(t_b - t_a) \right) | q_a \rangle$$

**Einige hilfreiche Identitäten:**

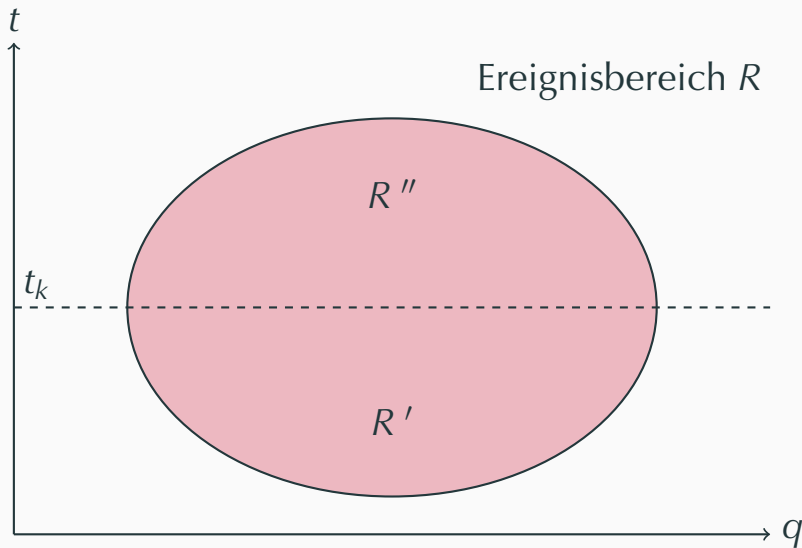
- Identität im Ortraum:  $\mathbb{1} = \int dq_k |q_k\rangle \langle q_k|$
- Baker-Hausdorff-Campbell:  $e^{A+B} = e^A e^B e^{-\frac{1}{2}[A+B]+\dots}$
- Basistransformation:  $\langle p_k | q_k \rangle = \frac{1}{\sqrt{2\pi}} e^{-ip_k q_k}$

# Die Idee des Pfadintegral-Formalismus



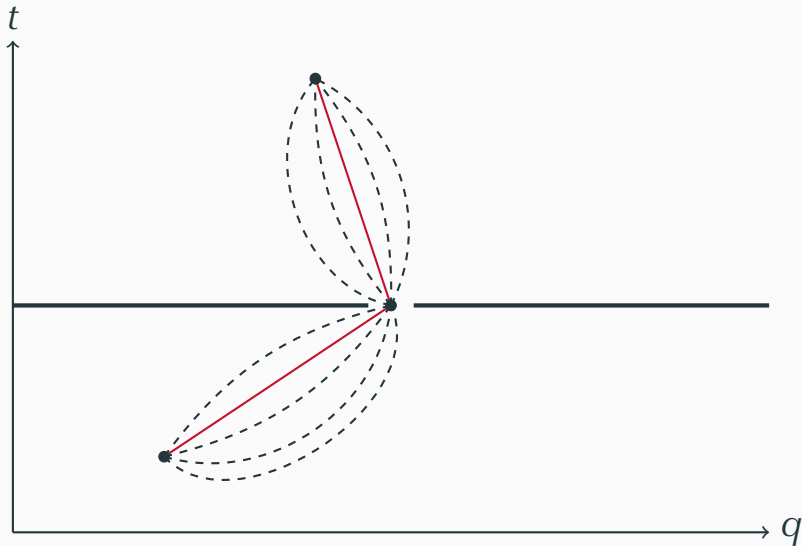
**Abbildung 3:** Konstruktion der "Summe über alle Pfade"

# Übergang zu zwei und mehr Events



**Abbildung 4:** Zerlegung des Ereignisraumes

# Übergang zu zwei und mehr Events



**Abbildung 5:** Einzelspalt zur Veranschaulichung der Idee von Multi-Events

# Wichtiges Zwischenergebnis

## Formale Definition des Pfadintegrals

$$\begin{aligned} K(b, a) &= \langle q_b, t_b | q_a, t_a \rangle \\ &= \int_a^b \mathcal{D}[q(t)] \exp \left( \frac{i}{\hbar} \int_{t_a}^{t_b} dt \mathcal{L}(q(t), \dot{q}(t)) \right) \end{aligned}$$

Im nächsten Schritt untersuchen wir den Fall eines allgemeinen Hamiltonians der Form:

$$\hat{H}(p, q) = \frac{p^2}{2m} + V(q)$$

Wir benötigen die Definition des **Gaußintegrals**:

$$\int_{-\infty}^{\infty} dq \exp \left( -\frac{1}{2} a q^2 + b q \right) = \sqrt{\frac{2\pi}{a}} \exp \left( \frac{b^2}{2a} \right) \quad \text{mit } \Re(a) > 0$$

Endergebnis der Herleitung für einen Hamiltonian der Form  $\frac{p^2}{2m} + V(q)$ :

## Feynman-Kac-Formel

$$\begin{aligned}\langle q_b, t_b | q_a, t_a \rangle &= \lim_{N \rightarrow \infty} \gamma^{N+1} \prod_{k=1}^N \int dq_k \exp \left( i \int_{t_a}^{t_b} dt \mathcal{L}(p, q) \right) \\ &\equiv \int_{q(t_a)}^{q(t_b)} \mathcal{D}q(t) \exp \left( i \int_{t_a}^{t_b} dt \mathcal{L}(p, q) \right)\end{aligned}$$



# Kommutatorrelation im Pfadintegralformalismus

---

# Wo versteckt sich die Kommutatorrelation?

## Ein grundlegendes Problem?

Ein zentraler Fakt in der Quantenmechanik war bisher:

$$[p, q] = -i\hbar$$

Wo finden wir die kanonische Kommutatorrelation im Pfadintegral-Formalismus?

# Wo versteckt sich die Kommutatorrelation?

## Vorgehensweise, basierend auf [6]:

1. Aufspalten des Pfadintegrals im Zeitintervall  $[0, T]$ :

$$\begin{aligned}\int_{(q_a, 0)}^{(q_b, T)} dq e^{iS} q(t) &= \int dq \langle q_b, T | q, t \rangle q \langle q, t | q_a, 0 \rangle \\ &= \int dq \langle q_b, T | \tilde{q}(t) | q, t \rangle \langle q, t | q_a, 0 \rangle \\ &= \langle q_b, T | \tilde{q}(t) | q_a, 0 \rangle\end{aligned}$$

2. Analog: Produkt von zwei eingefügten  $q$ 's:

$$\begin{aligned}\int_{(q_a, 0)}^{(q_b, T)} dq e^{iS} q(t)q(t') &= \langle q_b, T | \underbrace{\hat{T} [\hat{q}(t) \hat{q}(t')]}_{=\theta(t-t')q(t)q(t')+\theta(t'-t)q(t')q(t)} | q_a, 0 \rangle \\ &= \theta(t-t')q(t)q(t') + \theta(t'-t)q(t')q(t)\end{aligned}$$

3. Partielle Integration liefert:

$$\left\langle \psi_b \left| \frac{\delta F}{\delta q_k} \right| \psi_a \right\rangle = -\frac{i}{\hbar} \left\langle \psi_b \left| F \frac{\delta S}{\delta q_k} \right| \psi_a \right\rangle$$

# Wo versteckt sich die Kommutatorrelation?

Vorgehensweise, basierend auf [6]:

4. Diskretisiere  $\mathcal{S} = \sum_k \mathcal{S}(q_{k+1}, q_k) = \frac{m\varepsilon}{2} \left[ \frac{q_{k+1} - q_k}{\varepsilon} \right]^2 - \varepsilon V(q_{k+1})$ :

$$i\hbar \frac{\delta F}{\delta q_k} \xleftrightarrow{S} F \left[ \frac{\delta \mathcal{S}(q_{k+1}, q_k)}{\delta q_k} + \frac{\delta \mathcal{S}(q_k, q_{k-1})}{\delta q_k} \right]$$

5. Wähle  $F = q_k$  und vernachlässige Terme  $\mathcal{O}(\varepsilon)$ :

$$\underbrace{m \left( \frac{q_{k+1} - q_k}{\varepsilon} \right)}_{p_k} q_k - \underbrace{m \left( \frac{q_k - q_{k-1}}{\varepsilon} \right)}_{p_k} q_k \xleftrightarrow{S} -i\hbar$$

## Fazit

Die Kommutatorrelation versteckt sich also in der Diskretisierung und der sukzessiven Anwendung des Zeitordnungsoperators  $\hat{T}$ !

# Der Harmonische Oszillator

---

# Der Harmonische Oszillator

## Anwendung des erlernten Formalismus

Wir wollen nun das Erlernte benutzen um die Energie-Eigenwerte für das Potential des harmonischen Oszillators zu bestimmen.

Wir kennen die den Lagrangian für dieses Problem:

$$\mathcal{L} = \frac{\dot{q}^2}{2m} - \frac{m\omega^2 q^2}{2}$$

Wir schreiben die Pfade als Abweichungen vom klassischen Pfad:

$$q(t) = q_{cl.}(t) + \eta(t)$$

Klassische Lösung für  $q(t_a) = q_a$  und  $q(t_b) = q_b$ :

$$q_{cl.}(t) = \frac{\sin \omega(t_b - t)}{\sin \omega(t_b - t_a)} \cdot q_a + \frac{\sin \omega(t - t_a)}{\sin \omega(t_b - t_a)} \cdot q_b$$

## Mehler-Formel für den harmonischen Oszillator

$$\begin{aligned}\langle q_b, t_b | q_a, t_a \rangle &= \sqrt{\frac{m\omega}{2\pi i \hbar \sin(\omega T)}} \exp\left(\frac{i}{\hbar} \mathcal{S}_{cl.}\right) \\ &= \sqrt{\frac{m\omega}{2\pi i \hbar \sin(\omega T)}} \exp\left(\frac{im\omega}{2\hbar \sin(\omega T)} [(q_b^2 + q_a^2) \cos(\omega T) - 2q_b q_a]\right)\end{aligned}$$

wobei  $T = t_b - t_a = \text{Periodendauer}$ .

## Energiespektrum

Wir bilden die Spur des Zeitentwicklungsoperators:

$$\text{Tr}(U(T, 0)) = \text{Tr}\left(\exp\left(-\frac{i}{\hbar} \hat{H} T\right)\right) = \sum_k \exp\left(-\frac{i}{\hbar} E_k T\right)$$

$$\begin{aligned}\mathrm{Tr}(U(T, 0)) &= \int_{-\infty}^{\infty} dq \langle q, T | q, 0 \rangle \\ &= \sqrt{\frac{m\omega}{2\pi i \hbar \sin(\omega T)}} \int_{-\infty}^{\infty} dq \exp\left(\frac{i m \omega}{2 \hbar \sin(\omega T)} [2q^2 (\cos(\omega T) - 1)]\right) \\ &= \frac{1}{2i \sin\left(\frac{\omega T}{2}\right)} \\ &= \frac{\exp\left(-i \frac{\omega T}{2}\right)}{1 - \exp(-i \omega T)} \\ &= \sum_k^{\infty} \exp\left(-\frac{i}{\hbar} \hbar \omega \left(k + \frac{1}{2}\right)\right)\end{aligned}$$

Dies liefert uns das gewünschte, bereits bekannte Energie-Spektrum des Harmonischen Oszillators!



# Der klassische Grenzfall

---

# Beiträge zur Übergangsamplitude

Betrachte benachbarte Pfade  $q(t)$  und  $\tilde{q}(t) = q(t) + \eta(t)$ :

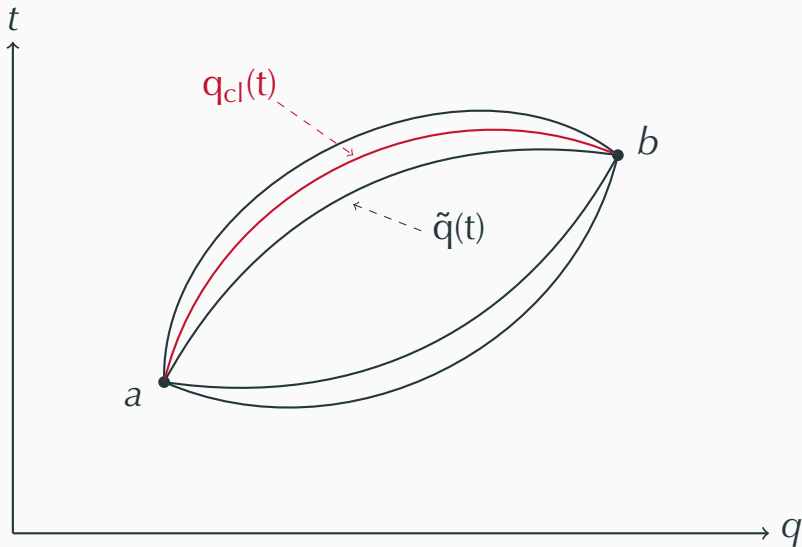
$$\mathcal{S}[q(t)] = \int_{t_1}^{t_2} dt \mathcal{L}(q, \dot{q}, t)$$

$$\begin{aligned}\mathcal{S}[\tilde{q}(t)] &= \mathcal{S}[q(t) + \eta(t)] \\ &= \mathcal{S}[q(t)] + \int_{t_1}^{t_2} dt \eta(t) \frac{\delta \mathcal{S}[q(t)]}{\delta q(t)} + \mathcal{O}(\eta^2)\end{aligned}$$

Damit ergibt sich für den Beitrag zur Übergangsamplitude  $K(b, a)$ :

$$A \simeq \exp\left(\frac{i}{\hbar} \mathcal{S}[q(t)]\right) \cdot \underbrace{\left(1 + \exp\left(\frac{i}{\hbar} \int dt \eta(t) \frac{\delta \mathcal{S}[q(t)]}{\delta q(t)}\right)\right)}_{\hbar \rightarrow 0 \implies \text{größere Abweichung}}$$

# Beiträge zur Übergangsamplitude



**Abbildung 6:** Abweichungen zum klassischen Pfad

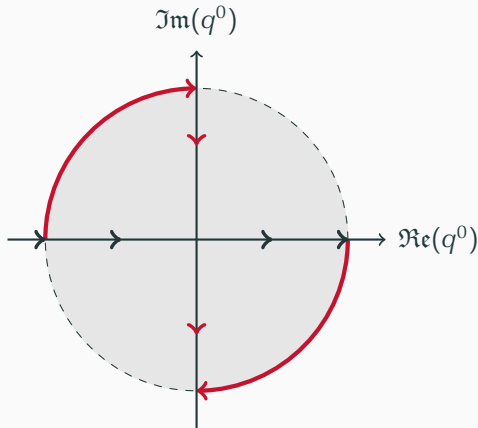
# Weiterführende Anwendungen

---

# Mathematisches Tool: Wick-Rotation

Als **Wick-Rotation** bezeichnen wir die analytische Fortsetzung

$$\tau \longrightarrow -it$$



**Abbildung 7:** Visualisierung der Wick-Rotation

- Betrachte nur Pfade, welche bei der selben Konfiguration starten und auch wieder enden:

$$Z = \int \mathcal{D}q \exp \left( -\frac{1}{\hbar} \mathcal{S}_{\text{eukl.}}[q] \right) \quad (1)$$

- Dies entspricht der kanonischen Zustandssumme mit

$$\frac{1}{T} = \frac{k_b \tau}{\hbar}$$

- Insgesamt gilt:

$$Z = \int dq U(q, \beta \hbar; q) = \sum_k \langle k | \int dq e^{-\beta E_k} |q\rangle \langle q|k\rangle = \sum_k e^{-\beta E_k}$$

In der Quantenfeldtheorie wird man häufig mit Pfadintegralen konfrontiert.

- Man berechnet zum Beispiel **Erwartungswerte**:

$$\langle F \rangle = \frac{\int \mathcal{D}\phi F[\phi] e^{iS[\phi]}}{\int \mathcal{D}\phi e^{iS[\phi]}}$$

- oder die sog. **Korrelationsfunktionen**:

$$\langle \phi(x_1) \phi(x_2) \dots \phi(x_n) \rangle = \frac{\int \mathcal{D}\phi e^{-S[\phi]} \phi(x_1) \dots \phi(x_n)}{\int \mathcal{D}\phi e^{-S[\phi]}}$$

**Vielen Dank für eure Aufmerksamkeit!**





P. A. M. Dirac.

**The lagrangian in quantum mechanics.**

*Physikalische Zeitschrift der Sowjetunion*, 3(1):312–320, 1933.



R. P. Feynman.

**Space-time approach to non-relativistic quantum mechanics.**

*Reviews of Modern Physics*, 20(2):367–387, 1948.



R. P. Feynman and A. R. Hibbs.

***Quantum mechanics and path integrals.***

Dover, New York [u.a.], 2010.



Prof. Arthur Hebecker.

***Theoretische Physik IV - Quantenmechanik.***

Universität Heidelberg, 2018.

# Literaturverzeichnis II



Richard MacKenzie.

***Path Integral Methods and Applications.***

Université de Montréal, 2000.



Yen Chin Ong.

***Note: Where is the Commutation Relation Hiding in the Path Integral Formulation?***

Leung Center for Cosmology and Particle Astrophysics, National Taiwan University, Taipei, Taiwan 10617.



Prof. Timo Weigand.

***Quantum Field Theory I + II.***

Heidelberg University, 2013/2014.